

Белецкий Э. В., канд. техн. наук, доц.
Харьковский торгово-экономический институт
Киевского национального торгово-экономического университета
Толчинский Ю. А., канд. техн. наук, доц.
Национальный технический университет «Харьковский политехнический институт»

МАТЕМАТИЧЕСКАЯ МОДЕЛЬ ВЯЗКОПЛАСТИЧЕСКОГО ТЕЧЕНИЯ БИНГАМОВСКОЙ ЖИДКОСТИ С ПОПЕРЕЧНОЙ ЦИРКУЛЯЦИЕЙ В ПРЯМОУГОЛЬНОМ КАНАЛЕ ЧЕРВЯЧНОЙ МАШИНЫ

bileckyj@meta.ua

Предложено математическое описание продольного течения бингамовской жидкости с поперечной циркуляцией в прямоугольном канале червячной машины, полученные уравнения позволяют проводить моделирование разнообразных течений вязкопластических жидкостей.

Ключевые слова: математическая модель, неньютоновские материалы, червячная машина, порог текучести, бингамовская жидкость.

В основе многих важных процессов лежат знания закономерности течения высоковязких материалов. Эффективная организация проведения таких процессов зависит от особенностей течения высоковязких неньютоновских материалов. Такие движения порождают поля скорости и напряжений сдвига, которые выступают в качестве движущих сил и средств воздействия на материалы, обеспечивая протекание механофизических и механохимических превращений. Перемещение, в ходе которого возникают поля скорости и напряжений не может быть обеспечено насосами ввиду большой вязкости перерабатываемых материалов. Для этой цели используются червячные машины, специально предназначенные для воздействия на такие материалы [1 – 5]. Эти машины сочетают в себе способность к перемещению материала, со способностью к перемешиванию. Эти две способности являются предпосылками к эффективному механофизическому и механохимическому воздействию на материал.

Как правило, транспортирующая способность и способность силового (сдвигового) воздействия на материал, в известной степени, противоречат друг другу. Для оптимального комбинирования этих способностей необходимо рационально подобрать устройство рабочей камеры червячной машины, которая представляет собой совокупность последовательно соединенных каналов с различной геометрией. Каналы отличаются большим разнообразием своих поперечных сечений [1, 3, 4]. При анализе движения в канале различной формы отталкиваются от канала, имеющего прямоугольное поперечное сечение. Такой канал является основным, часто исходным при различных построениях. Течение в таком канале связано с реальным движением перерабатываемого червячного материала с помощью специально назначенных граничных

условий [2, 5]. А именно, на границах прямоугольного канала задаются скорости движения этих границ, которые имеют как продольную (вдоль длины канала) так и поперечную составляющие. Величины этих составляющих определяются диаметром червяка, числом оборотов червяка и углом подъема винтовой линии [1, 2, 5]. Граничные скорости определяют поля скорости и напряжений внутри канала, связывая их с главными конструктивными (диаметр червяка и шаг) и режимными (число оборотов червяка) характеристиками червячной машины.

Целью настоящей работы является изучение движения бингамовского материала в прямоугольном канале с произвольным распределением продольных и поперечных составляющих граничных скоростей. Выбор такого материала продиктован значительной практической значимостью таких материалов и их распространенностью в пищевой и химической технологиях [6, 7]. В данной работе бингамовский материал изображается бингамовской жидкостью, которая имеет два постоянных параметра – вязкость μ и порог текучести τ_0 . Изложение основывается на ряде работ авторов, в которых развит метод анализа течений, основанным на сведениях задачи о течении в прямоугольном канале к задаче течения в плоском канале. Течение в прямоугольном канале получается в результате суперпозиции течений в двух плоских, скрещенных под прямым углом, каналах [8, 9, 10]. В данной работе изучается влияние поперечной циркуляции на такие характеристики вязкопластического течения как размеры твердого ядра, скорость ядра и расход течения.

Поперечное сечение прямоугольного канала и характеристики ядра течения представлены на рисунке 1, а. Течение в прямоугольном канале с движущимися границами считается трехмерным и плоским. Это значит, что все три ком-

поненты скорости – продольная v_z и поперечные v_x и v_y зависят только от поперечных координат x и y . Уравнения движения вязкопластической

жидкости в напряжениях имеют следующий вид:

$$\frac{\partial P}{\partial z} = \frac{\partial \tau_{zx}}{\partial x} + \frac{\partial \tau_{zy}}{\partial y}; \quad \gamma_x^\pm \equiv \frac{\Gamma_x^\pm}{a}; \quad \gamma_y^\pm \equiv \frac{\Gamma_y^\pm}{a} \quad (1)$$

$$\tau_0^2(\gamma_{x(y)}^\pm) = \tau_{zx}^2 + \tau_{zy}^2 + 2\tau_{xx}^2 + 2\tau_{yy}^2,$$

в котором P – давление в канале, $\tau_{ik,i,k=x,y,z}$ – компоненты тензора напряжений; $\gamma_{x(y)}^\pm$ – безразмерные компоненты контура границы ядра течения; a и h – ширина и высота прямоугольника в поперечном сечении канала. Уравнения (1) можно последовательно свести к уравнениям течения в плоском канале, который имеет в поперечном сечении полосу, параллельную оси ox и полосу, которая в сечении в плоского канала параллельна оси oy . Соответственно эти каналы изображены на рис. 1б. Необходимости рассматривать решение задач течения для двух

плоских каналов нет. Так как в виду соотношений двойственности между ними, достаточно рассмотреть только одно из двух течений [9, 10]. Без ограничения общности рассматривается течение в плоском канале, границы сечения которого параллельны оси ox . В качестве основного используется компонент тензора напряжений τ_{zy} , относительно которого делаются оценки остальных компонентов в тензора напряжений. В соответствии с этим уравнения (1) могут быть переписаны следующим образом:

$$\frac{\partial P}{\partial z} = \frac{\partial \tau_{zy}}{\partial y} + \frac{\partial \tau_{zy}}{\partial x} \kappa \rho_y^\pm (1 \mp \gamma_y^\pm); \quad \frac{\tau_{zx}}{\tau_{zy}} = \frac{\partial v_z / \partial x}{\partial v_z / \partial y};$$

$$\tau_0^2 = \tau_{zy}^2 \left[1 + \left(\frac{\tau_{zx}}{\tau_{zy}} \right)^2 + 2 \left(\frac{\tau_{xx}}{\tau_{zy}} \right)^2 + 2 \left(\frac{\tau_{yy}}{\tau_{zy}} \right)^2 \right];$$

$$\rho_y^\pm = \frac{W_{\parallel x}^+ + W_{\parallel x}^- - W_{\parallel y}^\pm - v_k}{W_{\parallel y}^\pm - v_k},$$

где $W_{\parallel x}^+, W_{\parallel y}^\pm$ – граничные продольные скорости (рис. 1, а); v_k – скорость движения твердого ядра; знаки «плюс» и «минус» отмечают положе-

ние выше и ниже ядра для величины с индексом «y» и правее и левее ядра для величин с индексом «x» соответственно.

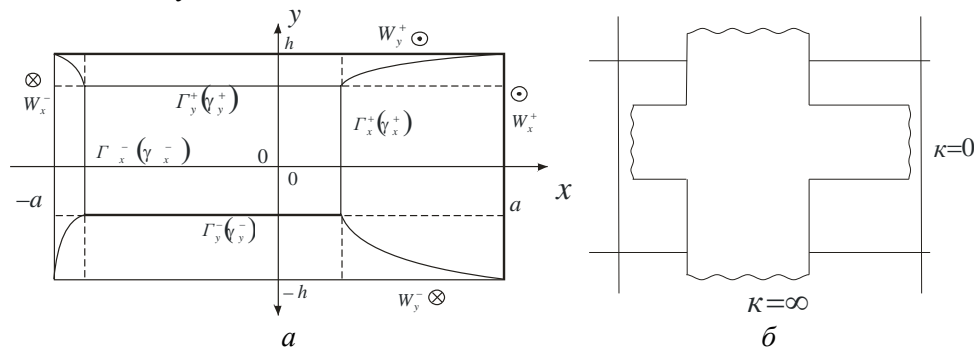


Рис. 1. Модель вязкопластического течения в прямоугольном канале

Из формул (2) следует, что дальнейшего продвижения необходимо исключить все компоненты напряжений, кроме τ_{zy} , а также выразить в первом уравнении производную от τ_{zy} по x через производную по y . Производные по этим переменным связаны соотношением $\partial/\partial x = \kappa \partial/\partial y$, где $\kappa = h/a$ [9, 10]. Оценки для компонентов тензора напряжений имеют следующий вид:

$$\frac{\tau_{xx}}{\tau_{zy}} = \kappa \frac{W_{\perp x}^+ - W_{\perp x}^-}{W_{\parallel y}^\pm - v_k} (1 \mp \gamma_y^\pm); \quad (3)$$

$$\frac{\tau_{xy}}{\tau_{zy}} = \frac{W_{\perp y}^\pm}{W_{\parallel y}^\pm - v_k} + \frac{W_{\perp x}^+ - W_{\perp x}^-}{W_{\parallel y}^\pm - v_k} (1 \mp \gamma_y^\pm)^2,$$

где $W_{\perp x(y)}^\pm$ – поперечные составляющие граничных скоростей на границах прямоугольного канала, параллельных осям ox и oy соответственно. С помощью соотношений (3) систему уравнений (1) можно записать в виде, отвечающем течению в плоском канале:

$$\frac{\partial P}{\partial z} = \frac{\partial \tau_{zy}}{\partial y} \left[1 + \kappa^2 \rho_y^\pm (1 \mp \gamma_y^\pm) \right]; \tag{4}$$

$$\tau_{zy} = \pm \frac{\tau_0}{\sqrt{1 + \kappa^2 [(\rho_y^\pm)^2 + (\theta_y^\pm)^2]} (1 \mp \gamma_y^\pm)^2 + [m_y^\pm + n_y^\pm \kappa^2 (1 \mp \gamma_y^\pm)^2]^2},$$

где ρ_y^\pm определено формулой (2), равно множителю, сформированному граничными скоростями при оценке отношения τ_{xy}/τ_{zx} в формуле (3), m_y^\pm равно первому, а n_y^\pm – второму слагаемым, сформированным граничными скоростями для оценки отношения τ_{xy}/τ_{zy} в формуле (3). Система уравнений (4) решена в работах авторов [8, 10]. Там установлено, что скорость твердого ядра v_k является дробно-рациональной функцией величин γ_y^\pm . Также установлено, что профиль продольной скорости v_z зависит от поперечной координаты y квадратично. В выражения для v_k и v_z входят три постоянные, после исключения которых получается система двух нелинейных уравнений для нахождения величин γ_y^\pm . Указанными здесь особенностями обладает чисто продольное течение в прямоугольном канале. Результаты, полученные для чисто продольного течения можно перенести на течение с поперечной циркуляцией, внося соответствующие изме-

нения в результаты авторов [8]. Поскольку причиной поперечной циркуляции является наличие поперечных составляющих у граничных скоростей, поскольку в случае $W_{\perp x(y)}^\pm \equiv 0$ циркуляция отсутствует; и выполняются равенства $\theta_y^\pm = 0$, $m_y^\pm = 0$, $n_y^\pm = 0$. Тогда система уравнений (4) совпадает с изученной ранее [8 – 10]. Было показано, что решение системы уравнений для границ ядра γ_y^\pm и γ_x^\pm для течения без поперечной циркуляции представляет собой сумму двух решений для плоских каналов со сторонами в сечениях, параллельными осям ox и oy соответственно. Таким плоским каналам отвечают предельные значения параметра формы канала $\kappa = 0$ и $\kappa = \infty$. Случай $\kappa = 0$ означает, что $h = const$, $a = \infty$, а случай $\kappa = \infty$ означает, что $h = \infty$, $a = const$. Для течения с поперечной циркуляцией система уравнений для вычисления величин γ_y^\pm записывается в таком виде:

$$\begin{aligned} \frac{(1 - \gamma_y^+)^2}{1 + \kappa^2 \rho_y^+ (1 - \gamma_y^+)} - \frac{(1 + \gamma_y^-)^2}{1 + \kappa^2 \rho_y^- (1 + \gamma_y^-)} &= \frac{2\mu(W_{ly}^+ - W_{ly}^-)}{h dP / d\zeta_h}, \quad \zeta_h = z/h, \tag{5} \\ \frac{\gamma_y^+}{1 + \kappa^2 \rho_y^+ (1 - \gamma_y^+)} - \frac{\gamma_y^-}{1 + \kappa^2 \rho_y^- (1 + \gamma_y^-)} &= \\ &= \frac{\tau_0}{\sqrt{1 + \kappa^2 [(\rho_y^+)^2 + (\theta_y^+)^2]} (1 - \gamma_y^+)^2 + [m_y^+ + \kappa^2 n_y^+ (1 - \gamma_y^+)^2]^2} + \\ &+ \frac{\tau_0}{\sqrt{1 + \kappa^2 [(\rho_y^-)^2 + (\theta_y^-)^2]} (1 + \gamma_y^-)^2 + [m_y^- + \kappa^2 n_y^- (1 + \gamma_y^-)^2]^2}. \end{aligned}$$

Если систему уравнений (5) рассмотреть для случая $\kappa = 0$, то это равносильно системе уравнений для плоского канала. Это означает, что уравнения (5) при $\kappa = 0$ являются следствием следующей системы уравнений, которая после исключения постоянных c_1 , c_2^\pm превращаются в уравнения (5) при $\kappa = 0$:

$$\begin{aligned} v_z^\pm &= \frac{h}{2\mu} \frac{\partial P}{\partial \zeta_h} \xi_y^2 + \frac{(c_1 \mp \tau_{0y})}{\mu} h \xi + c_2^\pm; \\ \frac{h}{2\mu} \frac{\partial P}{\partial \zeta_h} (\gamma_y^+)^2 + \frac{c_1 - \tau_{0y}^+}{\mu} h \gamma_y^+ + c_2^+ &= \frac{h}{2\mu} \frac{\partial P}{\partial \zeta_h} (\gamma_y^-)^2 + \frac{c_1 - \tau_{0y}^-}{\mu} h \gamma_y^- + c_2^-; \tag{6} \\ \gamma_y^+ \frac{\partial P}{\partial \zeta_h} + c_1 &= \tau_{0y}^+; \quad \gamma_y^- \frac{\partial P}{\partial \zeta_h} + c_1 = \tau_{0y}^-; \end{aligned}$$

$$\frac{h}{2\mu} \frac{\partial P}{\partial \zeta_h} + \frac{c_1 - \tau_{0y}^+}{\mu} h + c_2^+ = W_{\parallel y}^+; \quad \frac{h}{2\mu} \frac{\partial P}{\partial \zeta_h} - \frac{c_1 + \tau_{0y}^-}{\mu} h + c_2^- = W_{\parallel y}^-;$$

$$\tau_{0y}^\pm = \frac{\tau_0}{\sqrt{1 + (m_y^\pm)^2}}; \quad m_y^\pm = \frac{W_{\perp y}^\pm}{W_{\parallel y}^\pm - v_k}.$$

После проведения ряда преобразований, которые ввиду громоздкости и простоты не при-

водятся для решений уравнений (6) можно прийти к таким выражениям:

$$\gamma_y^\pm (\kappa = 0) = \pm \frac{\tau_{0y}^+ + \tau_{0y}^-}{2dP/d\zeta_h} + \frac{\mu(W_{\parallel y}^+ - W_{\parallel y}^-)}{2h dP/d\zeta_h \left(1 - \frac{\tau_{0y}^+ + \tau_{0y}^-}{2dP/d\zeta_h}\right)}. \quad (7)$$

Если поперечная циркуляция отсутствует, то $\tau_0^+ = \tau_0^-$, поскольку m_y^\pm обращаются в ноль. Используя двойственный характер величин, характеризующих течения в плоских взаимно пер-

пендикулярных каналах с шириной h и a , исходя из формулы (7) можно сразу записать выражения для величин γ_x^\pm для $\kappa = \infty$:

$$\gamma_x^\pm (\kappa = \infty) = \pm \frac{\tau_{0x}^+ + \tau_{0x}^-}{2dP/d\zeta_a} + \frac{\mu(W_{\parallel x}^+ - W_{\parallel x}^-)}{2a dP/d\zeta_a \left(1 - \frac{\tau_{0x}^+ + \tau_{0x}^-}{2dP/d\zeta_a}\right)}, \quad \zeta_a = \frac{z}{a}. \quad (8)$$

Формулы (7) и (8) дают решение системы уравнений (5) для величин γ_y^\pm при $\kappa = 0$ и аналогичной системы уравнений для величин γ_x^\pm , которая отличается от (5) переменной всех индексов «у» на индексы «х» и заменой $\kappa \rightarrow 1/\kappa$, и которая в силу этого и избегания повторов не записывалась.

Далее необходимо решить систему уравнений (5) для другого предельного случая: $\kappa = \infty$, после чего, используя соображения двойственности, записать выражения для $\gamma_x^\pm (\kappa = 0)$. Система уравнений (5) в пределе $\kappa = \infty$ принимает следующий вид:

$$\begin{cases} \frac{1 - \gamma_y^+}{\rho_y^+} - \frac{1 + \gamma_y^-}{\rho_y^-} = \frac{2\mu}{a} \frac{W_{\parallel y}^+ - W_{\parallel y}^-}{dP/d\zeta_a}, \\ \frac{\gamma_y^+}{\rho_y^+(1 - \gamma_y^+)} - \frac{\gamma_y^-}{\rho_y^-(1 + \gamma_y^-)} = 0. \end{cases} \quad (9)$$

Можно показать, что система уравнений (9) равносильна одному квадратному уравнению относительно γ_y^\pm . Опуская длинные и громоздкие преобразования результат системы уравнений (9) может быть записан в таком виде:

$$\frac{1 \mp \gamma_y^\pm}{\rho_y^\pm} = -\frac{1}{2} \left[\pm \tau_{wy} - \frac{(\rho_y^+)^2 + (\rho_y^-)^2}{\rho_y^+ \rho_y^- (\rho_y^+ + \rho_y^-)} \right] + \sqrt{\left[\pm \tau_{wy} - \frac{(\rho_y^+)^2 + (\rho_y^-)^2}{\rho_y^+ \rho_y^- (\rho_y^+ + \rho_y^-)} \right]^2 + \tau_{wy} \frac{\rho_y^+}{\rho_y^- (\rho_y^+ + \rho_y^-)}} \quad (10)$$

$$\tau_{wy} \equiv \frac{2\mu}{a} \frac{W_{\parallel y}^+ - W_{\parallel y}^-}{dP/d\zeta_a}.$$

Особенностью решения (10) является тот факт, что зависимость этого решения от поперечных характеристик течения, которые сконцентрированы в величинах m_y^\pm и n_y^\pm отсутствует. Иначе говоря, величины $\gamma_y^\pm (\kappa = 0)$ зависят от поперечных граничных скоростей, а величины $\gamma_x^\pm (\kappa = 0)$ не зависят. Общая же (не для этого предельного случая) зависимость γ_y^\pm от m_y^\pm и n_y^\pm присутствует. В этом можно убедиться, если систему уравнений (5) разложить в ряд по пара-

метру $1/\kappa$ вблизи точки $\kappa = \infty$ ($1/\kappa = 0$). В первом и последующих слагаемых такая зависимость присутствует.

В силу уже упомянутого свойства двойственности между $\gamma_y^\pm (\kappa)$ и $\gamma_x^\pm (1/\kappa)$ сразу можно записать выражение для величин $\gamma_x^\pm (\kappa = 0)$. Для этого необходимо в формуле (10) во всех величинах с индексом «у» заменить его на индекс «х»; в величине τ_{wx} (которая заменяет τ_{wy}) необходимо заменить множитель $1/a$ на множитель $1/h$; в производной давления надо заменить переменную ζ_a на переменную ζ_h . С

учетом сказанного теперь можно построить выражения для $\gamma_y^\pm(\kappa)$ и $\gamma_x^\pm(\kappa)$ во всем диапазоне изменения этого параметра, опираясь на выражения (7), (8), (10) и его аналог для $\gamma_x^\pm(\kappa=0)$. Принимая во внимание, что уравнения (5) и их аналог для γ_x^\pm содержит зависимость только от κ^2 , следует заключить, что точное решение для

$$\gamma_y^\pm(\kappa) = \gamma_y^\pm(\kappa=0, W_{\parallel y}^\pm, W_{\parallel x}^\pm, W_{\perp y}^\pm) \frac{1}{1+\kappa^2} + \gamma_y^\pm(\kappa=\infty, W_{\parallel y}^\pm, W_{\parallel x}^\pm) \frac{\kappa^2}{1+\kappa^2}; \quad (11)$$

$$\gamma_x^\pm(\kappa) = \gamma_x^\pm(\kappa=0, W_{\parallel x}^\pm, W_{\parallel y}^\pm) \frac{1}{1+\kappa^2} + \gamma_x^\pm(\kappa=\infty, W_{\parallel x}^\pm, W_{\parallel y}^\pm, W_{\perp x}^\pm) \frac{\kappa^2}{1+\kappa^2}.$$

Для вычисления скорости твердого ядра и расхода течения формул (7), (8), (10) и ее аналога для $\gamma_x^\pm(\kappa=0)$ и (11) достаточно. Для вычисления плотности энергии диссипации к этому необходимо добавить формулы для поперечных (циркуляционных) течений. Скорость продольного течения в областях, расположенных между границами твердого ядра γ_y^\pm , и границами прямоугольного канала $y=\pm h$ находятся в результате решения первого уравнения — уравнение течения в формулах (2). Это уравнение относительно продольной скорости v_z является уравнением второго порядка по единственной переменной y . Градиент давлений при этом есть величина постоянная. Если использовать безразмерную переменную $\xi_h=y/h$, то профиль скорости v_z представляет собой квадратный трехчлен. Скорость продольного течения v_z для областей, расположенных между границами твердого ядра γ_x^\pm и границами прямоугольника с координатами $x=\pm a$ так же является квадратным трехчленом, зависящим от переменной $\xi_a=x/a$. Границы между областями с зависимостью продольной скорости от переменной ξ_h и ξ_a представляют собой кривые, проходящие через вершины пря-

уравнений (5) и их аналогов для γ_x^\pm зависят только от κ^2 . Поэтому любая интерполирующая формула, базирующаяся на предельных своих значениях (7), (10) должна состоять из множителей, зависящих только от κ^2 . Простейшая из соответствующих интерполяций имеет такой вид:

моугольника ядра и прямоугольника в поперечном сечении канала. Уравнения эти кривых даны в работе авторов [10]. Процедура вычисления расхода сводится к вычислению расходов в каждой из четырех областей, изображенных на рис. 1а. Все эти области одного типа — трапеции с криволинейными боковыми сторонами. Общий расход в канале равен сумме расходов в областях, указанных выше и расхода твердого ядра. Последний равен произведению площади ядра на его скорость. Как показано авторами, расход продольного течения без поперечной циркуляции представляет собой дробно-рациональное выражение, включающее величины γ_x^\pm и γ_y^\pm в степенях с первой по четвертую. Величина расхода течения с поперечной циркуляцией имеет вид, совпадающий с видом течения без циркуляции. Все отличия сосредоточены в величинах γ_x^\pm и γ_y^\pm , которые, в соответствии с (11) содержит в качестве независимых аргументов поперечные граничные скорости $W_{\perp x}^\pm, W_{\perp y}^\pm$.

Скорость продольного течения с поперечной циркуляцией можно записать в таком виде:

$$v_z^\pm = -\frac{h}{2\mu} \frac{\partial P}{\partial \xi_h} \frac{1-\xi_y^2}{1+\kappa^2 \rho_y^\pm (1\mp \gamma_y^\pm)} \pm \frac{h}{\mu} \frac{\partial P}{\partial \xi_h} \frac{\gamma_y^\pm (1\mp \xi_y)}{1+\kappa^2 \rho_y^\pm (1\mp \gamma_y^\pm)} + W_{\parallel y}^\pm, +: \gamma_y^+ \leq \xi_x \leq 1, \\ \therefore -1 \leq \xi_y \leq \gamma_y^-, \quad (12)$$

$$v_z^\pm = -\frac{a}{2\mu} \frac{\partial P}{\partial \xi_a} \frac{1-\xi_x^2}{1+(1/\kappa^2) \rho_x^\pm (1\mp \gamma_x^\pm)} \pm \frac{a}{\mu} \frac{\partial P}{\partial \xi_a} \frac{\gamma_x^\pm (1\mp \xi_x)}{1+\kappa^2 \rho_x^\pm (1\mp \gamma_x^\pm)} + W_{\parallel x}^\pm, +: \gamma_x^+ \leq \xi_x \leq 1, \\ \therefore -1 \leq \xi_x \leq \gamma_x^-,$$

$$\xi_y = \frac{y}{h}; \xi_x = \frac{x}{a}; \xi_h = \frac{z}{h}; \xi_a = \frac{z}{a}.$$

Скорости v_x и v_y поперечного течения в прямоугольном канале следует искать тоже в виде квадратного выражения от переменных ξ_x и ξ_y . При этом соответствующие поперечные градиенты являются искомыми величинами, в от-

личие от продольного градиента давления $\partial P/\partial z$, которые является независимой величиной и задается постоянным. Для нахождения поперечных скоростей и градиентов давлений следует записать уравнения поперечного течения для тех

же областей что и для продольного течения. Эти уравнения имеют такой вид:

$$\frac{\partial P}{\partial x} = \frac{\partial \tau_{xx}}{\partial x} + \frac{\partial \tau_{xy}}{\partial y} + \frac{\partial \tau_{xz}}{\partial z}, \quad \tau_0^2 = \tau_{zx}^2 + \tau_{zy}^2 + 2\tau_{xx}^2 + 2\tau_{xy}^2 \quad (13)$$

$$\frac{\partial P}{\partial y} = \frac{\partial \tau_{yx}}{\partial x} + \frac{\partial \tau_{yy}}{\partial y} + \frac{\partial \tau_{yz}}{\partial z}.$$

Для определенности рассматриваются сначала поперечные течения для областей, задаваемых неравенствами $\gamma_y^+ \leq \xi_x \leq 1, -1 \leq \xi_y \leq \gamma_y^-$. В этом случае независимой переменной для ско-

рости течения v_x^\pm будет ξ_y , а давление будет зависеть от переменной ξ_x . Непосредственно из рис. 1, а усматривается, что отношения компонентов $\tau_{xx}/\tau_{xy}, \tau_{xz}/\tau_{xy}$ равно:

$$\frac{\tau_{xx}}{\tau_{xy}} = \frac{\partial v_x^\pm / \partial x}{\partial v_x^\pm / \partial y + \partial v_x^\pm / \partial x} = \frac{\kappa (W_{\perp x}^+ - W_{\perp x}^-) (1 \mp \gamma_y^\pm)}{W_{\perp y}^+ + \kappa^2 (W_{\perp x}^+ - W_{\perp x}^-) (1 \mp \gamma_y^\pm)^2} \equiv \kappa \rho_{yx}^\pm (1 \mp \gamma_y^\pm); \quad (14)$$

$$\frac{\tau_{xz}}{\tau_{xy}} = \frac{\partial v_z^\pm / \partial x}{\partial v_x^\pm / \partial y + \partial v_y^\pm / \partial x} = \frac{\kappa (W_{\parallel x}^+ - W_{\parallel x}^-) (1 \mp \gamma_y^\pm)}{W_{\perp y}^+ + \kappa^2 (W_{\perp x}^+ - W_{\perp x}^-) (1 \mp \gamma_y^\pm)^2} \equiv \kappa \rho_{zy}^\pm (1 \mp \gamma_y^\pm).$$

Если в первое из уравнений (13) подставить значения τ_{xx} и τ_{xz} , выраженные через τ_{xy} в соответствии в (14), то получится уравнение в частных производных связывающее $\partial P / \partial x$ и частные производные от τ_{xy} . Используя оценки $\partial / \partial x \approx \kappa \partial / \partial y; \partial / \partial z \approx \kappa_{zh} \partial / \partial y$, где $\kappa_{zh} = h/L$ для величины τ_{xy} получается следующее уравнение:

$$\frac{\partial P_y^\pm}{\partial \xi_a} = \frac{\partial \tau_{xy}}{\partial \xi_h} \left[1 + \kappa^2 \rho_{yx}^\pm (1 \mp \gamma_y^\pm) + \kappa \kappa_{zh} \rho_{zy}^\pm (1 \mp \gamma_y^\pm) \right], \quad (15)$$

где P_y^\pm – давление в областях выше ядра течения.

Для областей, задаваемых неравенствами $\gamma_x^+ \leq \xi_x \leq 1$ и $-1 \leq \xi_x \leq \gamma_x^-$ следует рассматривать второе уравнение движения (13). В этом случае независимой переменной для скорости v_y^\pm будет ξ_x , а давление будет зависеть от независимой переменной ξ_y . Из приведенных здесь рассуждений следует, что компоненты напряжений τ_{yy} и τ_{yz} следует выразить через компоненту τ_{yx} . Это легко сделать так, как $\tau_{yy} = -\tau_{xx}$ в силу уравнения сохранения потока, а отношение τ_{yx}/τ_{yx} вычисляется так же, как и во второй формуле (14). Можно найти соответствующие отношения без вычисления с помощью отношений двойственности. Для этого надо в формулах (14) заменить индекс «y» на индекс «x» и наоборот, а величину κ на $1/\kappa^2$, и ввести соответственно для отношения τ_{yy}/τ_{yx} обозначение $(1/\kappa) \rho_{yx}^\pm (1 \mp \gamma_x^\pm)$, и для отношения τ_{yz}/τ_{yx} обозначение $(1/\kappa) \rho_{zx}^\pm (1 \mp \gamma_x^\pm)$.

Возвращаясь к уравнению (15), его следует решить с граничными условиями, отличными от граничных условий для продольной скорости v_z . Поперечные скорости должны на границах прямоугольника в сечении канала быть равными поперечным скоростям границ. На поверхности

твердого ядра поперечные скорости должны обращаться в ноль. Из формулы (15) для давлений P_y^\pm и давлений P_x^\pm для областей левее и правее ядра следует, что $P_y^\pm = P_y^\pm(\xi_a), P_x^\pm = P_x^\pm(\xi_h)$. Переменные ξ_a и ξ_h изменяются в таких пределах: $\gamma_x^+ \leq \xi_h \leq 1; -1 \leq \xi_h \leq \gamma_x^-; \gamma_x^+ \leq \xi_a \leq 1; -1 \leq \xi_a \leq \gamma_x^-$. Следовательно, скорости поперечного течения должны зависеть от величин $dP_y^\pm / d\xi_a$ и $dP_x^\pm / d\xi_h$ как от параметров, которые следует найти. Для отыскания неизвестных поперечных градиентов давлений следует воспользоваться такими вспомогательными представлениями. Течение между твердым ядром и границами канала в поперечной плоскости можно представить себе как течение в четырех последовательно соединенных каналах различной ширины и длины с движущимися и неподвижными границами. В каждом из этих каналов реализуются суммарное течение, состоящее из волокущего течения и напорного течения. Волокущее течение вызвано движением соответствующей границы, а напорное – перепадов поперечного давления. Четыре упомянутых канала образуют замкнутый канал. Это означает, что разность давлений по контуру четырех каналов должна обращаться в ноль. Поскольку поперечные каналы соединены в замкнутый контур последовательно, постольку расходы поперечных течений в каждом канале равны между собой. Условие одинаковости всех расходов дает три условия на неизвестные величины градиентов давления. Еще одно условие, получается, из-за равенства нулю перепада давлений вдоль замкнутого контура каналов. Дополнительным неизвестным параметром является давление в начальной точке замкнутого контура (она же конечная его точка). Выбор начальной точки

произволен. Он не сказывается на результатах. Ниже в качестве начальной точки для давления используется точка с координатами $\zeta_a=1$ и $\xi_h=1$. Для определения давления в этой точке следует использовать следующее условие: среднее значение давления в поперечном сечении прямоугольного канала должно быть равным значению продольного давления в этом сечении. Продольное давление является линейной функцией продольной координаты z и краевых условий на торцах канала. Продольное давление задается независимо через указание величин давлений P_h и P_k . Из сказанного следует, что поперечное давление является функцией продольной координаты z , величин $P_h(z=0)$ и $P_k(z=L)$ и зна-

чений поперечных скоростей границ $W_{\perp y}^{\pm}, W_{\perp x}^{\pm}$. Другая группа параметров, определяющих поведение поперечного давления, связана с характеристиками продольного течения. Эти характеристики следующие: $\gamma_y^{\pm}, \gamma_x^{\pm}, \rho_{yx}^{\pm}, \rho_{zy}^{\pm}$, которые, в свою очередь, зависят от $\mu, \tau_0, W_{\parallel y}^{\pm}, W_{\parallel x}^{\pm}$. Таким образом, поперечное давление зависит от всех граничных скоростей и координат границ твердого ядра и параметра формы κ . После этих замечаний можно приступить к выводу уравнений для поперечного давления и расхода. Все сказанное выше изображено на рис. 2.

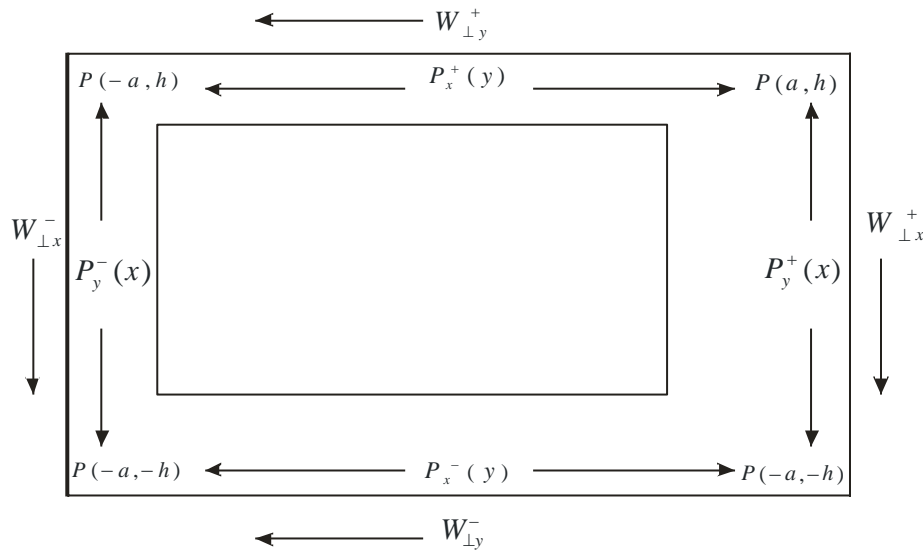


Рис. 2. Характеристики ядра течения

Решение уравнений (15) для $v_x^{\pm}(\xi_h)$ и его аналога для $v_y^{\pm}(\xi_a)$ в указанных выше пределах с обсужденными выше граничными условиями получается после ряда громоздких преобразова-

ний и двукратного интегрирования по поперечной переменной ξ_h для v_x^{\pm} и ξ_a для v_y^{\pm} . Результат имеет следующий вид:

$$\begin{aligned}
 v_x^{\pm}(\xi_h) &= \frac{h}{2\mu} \frac{1}{1 + \kappa^2 R^{\pm} (1 \mp \gamma_y^{\pm})} \frac{\partial P_y^{\pm}}{\partial \zeta_a} [\xi_h^2 - \gamma_y^{\pm 2} \pm (1 \pm \gamma_y^{\pm})(\gamma_y^{\pm} - \xi_h)] \pm \frac{W_{\perp y}^{\pm}(\xi_h - \gamma_y^{\pm})}{(1 \mp \gamma_y^{\pm})}; \\
 v_y^{\pm}(\xi_a) &= \frac{a}{2\mu} \frac{1}{1 + \frac{1}{\kappa^2} S^{\pm} (1 \mp \gamma_x^{\pm})} \frac{\partial P_x^{\pm}}{\partial \zeta_h} [\xi_a^2 - \gamma_x^{\pm 2} \pm (1 \pm \gamma_x^{\pm})(\gamma_x^{\pm} - \xi_a)] \pm \frac{W_{\perp x}^{\pm}(\xi_a - \gamma_x^{\pm})}{(1 \mp \gamma_x^{\pm})}; \quad (16) \\
 R^{\pm} &= \rho_{yx}^{\pm} + \frac{\kappa_{zh}}{\kappa} \rho_{zy}^{\pm}; \quad S^{\pm} = \rho_{xy}^{\pm} + \frac{\kappa}{\kappa_{za}} \rho_{xz}^{\pm}; \\
 \kappa_{zh} &= \frac{h}{L}; \quad \kappa_{za} = \frac{a}{L}.
 \end{aligned}$$

Вычисление расхода течения в каждом канале происходит интегрированием скорости $v_x^{\pm}(\xi_h)$ в промежутках $(\gamma_y^+, 1)$ и $(-1, \gamma_y^-)$; и ско-

рости $v_x^{\pm}(\xi_a)$ в промежутках $(\gamma_x^+, 1)$ и $(-1, \gamma_x^-)$. Результаты интегрирования записываются таким образом:

$$\begin{aligned} \dot{V}_y^+ &= h \int_{\gamma_y^+}^1 v_x^+ d\xi_h = \frac{h^2}{2\mu} \frac{1}{1+\kappa^2 R^+ (1-\gamma_y^+)} \frac{\partial P_y^+}{\partial \zeta_a} \left[\frac{1-3\gamma_y^{+2}+2\gamma_y^{+3}}{3} - \frac{(1+\gamma_y^+)(1-\gamma_y^+)^2}{2} \right] + \frac{W_{\perp y}^+ h}{2} (1+\gamma_y^+); \\ \dot{V}_y^- &= h \int_{-1}^{\gamma_y^-} v_x^- d\xi_h = \frac{h^2}{2\mu} \frac{1}{1+\kappa^2 R^- (1+\gamma_y^-)} \frac{\partial P_y^-}{\partial \zeta_a} \left[\frac{1-3\gamma_y^{-2}-2\gamma_y^{-3}}{3} - \frac{(1-\gamma_y^-)(1+\gamma_y^-)^2}{2} \right] + \frac{W_{\perp y}^- h}{2} (1+\gamma_y^-); \end{aligned} \quad (17)$$

$$\begin{aligned} \dot{V}_x^+ &= a \int_{\gamma_x^+}^1 v_y^+ d\zeta_a = \frac{a^2}{2\mu} \frac{1}{1+\frac{1}{\kappa^2} S^+ (1-\gamma_x^+)} \frac{\partial P_x^+}{\partial \xi_h} \left[\frac{1-3\gamma_x^{+2}+2\gamma_x^{+3}}{3} - \frac{(1+\gamma_x^+)(1-\gamma_x^+)^2}{2} \right] + \frac{W_{\perp x}^+ a}{2} (1+\gamma_x^+); \\ \dot{V}_x^- &= a \int_{-1}^{\gamma_x^-} v_y^- d\zeta_a = \frac{a^2}{2\mu} \frac{1}{1+\frac{1}{\kappa^2} S^- (1+\gamma_x^-)} \frac{\partial P_x^-}{\partial \xi_h} \left[\frac{1-3\gamma_x^{-2}-2\gamma_x^{-3}}{3} - \frac{(1-\gamma_x^-)(1+\gamma_x^-)^2}{2} \right] + \frac{W_{\perp x}^- a}{2} (1+\gamma_x^-). \end{aligned}$$

Тот факт, что каналы поперечной циркуляции образуют замкнутый контур, а само поперечное давление должно быть непрерывным на стыках каналов, приводит к таким соотношениям между значениями давлений: $P_y^+(-a) = P_x^-(+h)$, $P_x^+(-h) = P_y^-(-a)$, $P_y^- (+a) = P_x^+(-h)$, $P_x^+ (+h) = P_y^+ (+a)$. Из уравнения (15) и его аналога для $v_y^\pm(\zeta_a)$ следует, что зависимость давлений от соответствующих координат вдоль поперечных каналов имеет следующий вид:

$$\begin{aligned} P_y^+ &= P_0 + \frac{\partial P_y^+}{\partial \zeta_a} (\zeta_a - 1); \\ P_x^- &= P_0 - 2 \frac{\partial P_y^+}{\partial \zeta_a} + \frac{\partial P_x^-}{\partial \xi_h} (\xi_h - 1); \end{aligned}$$

$$2P_0 - \frac{3+4\kappa}{1+\kappa} \frac{\partial P_y^+}{\partial \zeta_a} + \frac{1+2\kappa}{1+\kappa} \frac{\partial P_y^-}{\partial \zeta_a} - \frac{1+3\kappa}{1+\kappa} \frac{\partial P_x^-}{\partial \xi_h} + \frac{\kappa}{1+\kappa} \frac{\partial P_x^+}{\partial \xi_h} = P_{\parallel}(z), \quad (19)$$

$$P_{\parallel}(z) = \frac{P_K - P_H}{L} Z + P_H.$$

Условия равенства нулю перепада давления вдоль замкнутого контура накладывает следующее ограничение на градиенты поперечных давлений:

$$-\frac{\partial P_y^+}{\partial \zeta_a} + \frac{\partial P_y^-}{\partial \zeta_a} - \frac{\partial P_x^-}{\partial \xi_h} + \frac{\partial P_x^+}{\partial \xi_h} = 0. \quad (20)$$

Совокупность уравнений (19), (20), а также трех уравнений, которые получаются приравнованием выражений для расходов, задаваемых формулами (17) составляют систему пяти линейных уравнений для определения пяти неизвестных: $\partial P_x^\pm / \partial \zeta_a$, $\partial P_x^\pm / \partial \xi_h$ и P_0 . Решая эти уравнения и подставив результаты в формулы (16) можно получить замкнутые выражения для скоростей поперечной циркуляции. Имея скоро-

$$P_y^- = P_0 - 2 \frac{\partial P_y^+}{\partial \zeta_a} - 2 \frac{\partial P_x^-}{\partial \xi_h} + \frac{\partial P_y^-}{\partial \zeta_a} (\zeta_a + 1);$$

$$P_x^+ = P_0 - 2 \frac{\partial P_y^+}{\partial \zeta_a} - 2 \frac{\partial P_x^-}{\partial \xi_h} + 2 \frac{\partial P_y^-}{\partial \zeta_a} + \frac{\partial P_x^+}{\partial \xi_h} (\xi_h + 1),$$

где P_0 – давление в точке начала отсчета с координатами $(x=a, y=h)$.

Среднее значение поперечного давления по замкнутому контуру, охватывающего твердое ядро определяется как сумма интегралов по переменным ξ_h и ζ_a в соответствующих пределах. При интегрировании слагаемые с ξ_h и ζ_a дают нулевой вклад. Поэтому среднее значение поперечного давления оказывается таким:

сти $v_x^\pm(\xi_h)$ и $v_y^\pm(\zeta_a)$ можно вычислить энергию диссипации вязкопластического течения в прямоугольном канале с учетом поперечной циркуляции. Процедура вычисления основана на то, что в каждой из четырех областей, на которые разбит прямоугольник в сечении канала, имеется течение, которое имеет продольную и поперечную составляющие. Для областей выше и ниже ядра – это $v_z^\pm(\xi_h)$ и $v_x^\pm(\xi_h)$; для областей левее и правее ядра – это $v_z^\pm(\zeta_a)$ и $v_y^\pm(\zeta_a)$. Следует также учесть, что в силу уравнения (19) кажется, что возникает дополнительная зависимость величин v_x^\pm и v_y^\pm от продольной координаты z . Поэтому величина энергии диссипации \dot{e} , приходящаяся на поперечное

сечение прямоугольного канала должна включать слагаемые, которые содержат от $(\partial v_x^\pm / \partial z)^2$ и $(\partial v_y^\pm / \partial z)^2$. На самом деле такой зависимости нет. Уравнения для расходов включают только градиенты давлений по поперечным координатам так, что условия постоянства расхода и нулевое изменение давления вдоль замкнутого

$$\begin{aligned} \frac{\dot{e}}{2\mu} = & \int_{\Gamma_y^+}^h \left(\frac{\partial v_z^+}{\partial y} \right)^2 dy \cdot 2a + \int_{-h}^{\Gamma_y^-} \left(\frac{\partial v_z^-}{\partial y} \right)^2 dy \cdot 2a + \int_{\Gamma_x^+}^a \left(\frac{\partial v_z^+}{\partial x} \right)^2 dx \cdot 2h + \int_{-a}^{\Gamma_x^-} \left(\frac{\partial v_z^-}{\partial x} \right)^2 dx \cdot 2h + \\ & + \int_{\Gamma_y^+}^h \left(\frac{\partial v_x^+}{\partial y} \right)^2 dy \cdot 2a + \int_{-h}^{\Gamma_y^-} \left(\frac{\partial v_x^-}{\partial y} \right)^2 dy \cdot 2a + \int_{\Gamma_x^+}^a \left(\frac{\partial v_y^+}{\partial x} \right)^2 dx \cdot 2h + \int_{-a}^{\Gamma_x^-} \left(\frac{\partial v_y^-}{\partial x} \right)^2 dx \cdot 2h. \end{aligned} \quad (21)$$

Величина продольного расхода течения вычисляется для каждой из областей отдельно и

$$\dot{V}_z = \int_{\Gamma_y^+}^h v_{zy}^+ dy \cdot 2a + \int_{-h}^{\Gamma_y^-} v_{zy}^- dy \cdot 2a + \int_{\Gamma_x^+}^a v_{zx}^+ dx \cdot 2h + \int_{-a}^{\Gamma_x^-} v_{zx}^- dx \cdot 2h, \quad (22)$$

где v_{zy}^\pm даются формулами (8), а v_{zx}^\pm – их аналогами на основании принципа двойственности.

Резюмируя смысл полученных результатов, можно сделать вывод о том, что модель трехмерного течения бингамовской жидкости в канале прямоугольного поперечного сечения была построена с использованием двух основных приемов. Первый из них, состоит в разбиении прямоугольника на твердое ядро и четыре прямоугольные области. Второй прием состоит в том, что вязкое течение в каждой из областей является двумерным – продольным и поперечным, но и то и другое течения зависят только от одной координаты. Это означает, что такие течения эквивалентны течениям с поперечной циркуляцией в плоском канале. Следует отметить и дополнительный прием, вытекающий из первых двух, который заключается в том, что ядро течения бингамовской жидкости имеет в сечении прямоугольник, а это, безусловно, следует считать некоторым приближением к реальной ситуации. Такой подход оправдывает себя тем, что позволяет в явном аналитическом виде вычислить все основные характеристики сложного трехмерного течения и проанализировать зависимость от граничных условий. При этом следует отметить, что учтены все восемь продольных и поперечных граничных условий с любым возможным их распределением на границах канала.

контура составляют четыре независимых уравнения для четырех градиентов. Поэтому, хотя величина давления в канале зависит от всех координат x, y, z , кинематические величины зависят только от координат x и y . Учитывая эти соображения величину \dot{e} можно представить в виде такой суммы:

так же суммируется. В результате для расхода \dot{V}_z получается следующее выражение:

БИБЛИОГРАФИЧЕСКИЙ СПИСОК

1. Ясногородский А.Я., Звездин А.Г. Многоцелевые двухшнековые машины для перерабатывающих технологий. – Х.: 2006. – 184 с.
2. Бернхард Э. Переработка пластических масс. – М.: Химия. 1965. – 746 с.
3. Прессы пищевых и кормовых производств. – под ред. А.Я. Соколова. – М.: Машиностр. 1973. – 232 с.
4. Герман Х. Шнековые машины в технологии. – Л.: Химия. 1975. – 229 с.
5. Тадмор З., Гогос К. Теоретические основы переработки полимеров. – М.: Химия. 1984. – 628 с.
6. Райнер М. Реология. – М.: Наука. ГРФМЛ. 1965. – 223 с.
7. Мачихин Ю.А., Мачихин С.А. Инженерная реология пищевых материалов. – М.: 1981.
8. Модель в'язкопластичного бінгамовської течії в прямокутному каналі / Е.В.Білецький, Ю.А. Толчинський // Обладнання та технології харчових виробництв – 2010. – № 1 (10) – С.122-125.
9. Течія в'язкопластичної рідини в пласкому каналі / Е.В.Білецький, Ю.А. Толчинський // Наукові праці ОНАХТ. – 2010. - №37 – С. 122-126
10. Модель вязкопластического течения в прямоугольном канале / Е.В.Білецький, Ю.А. Толчинський // Обладнання та технології харчових виробництв. – 2011. – 3-16 С.